

OŚWIADCZENIE PROJEKTANTÓW

W trybie art. 20 pkt. 4 Ustawy Prawo Budowlane z dnia 7 lipca 1994r. z późniejszymi zmianami. Niniejszym oświadczamy, że wyżej wymieniony Projekt Budowlany sporządzony został zgodnie z obowiązującymi przepisami oraz zasadami wiedzy technicznej

Opracował: mgr inż. Bartosz Januszewski
ZAP/0102/POOK/08
spec. konstrukcyjno-budowlana

Sprawdził: mgr inż. Wojciech Witkowski
ZAP/0135/POOK/12
spec. konstrukcyjno-budowlana

ZAWARTOŚĆ OPRACOWANIA

I. OPIS TECHNICZNY

| | | |
|-----|---|----|
| 1 | DANE OGÓLNE | 8 |
| 2 | PODSTAWA OPRACOWANIA..... | 8 |
| 3 | PRZEDMIOT I ZAKRES OPRACOWANIA | 9 |
| 4 | WARUNKI GRUNTOWO-WODNE I KATEGORIA GEOTECHNICZNA OBIEKTU..... | 9 |
| 5 | ROBOTY ZIEMNE..... | 10 |
| 6 | OPIS ROZWIĄZAŃ KONSTRUKCYJNYCH | 10 |
| 6.1 | POSADOWIENIE | 10 |
| 6.2 | KONSTRUKCJA STALOWA | 11 |
| 7 | PIELĘGNACJA I DOJRZEWANIE BETONU | 11 |
| 8 | ZABEZPIECZENIA ELEMENTÓW BETONOWYCH | 12 |
| 9 | ZABEZPIECZENIE ANTYKOROZYJNE ELEMENTÓW STALOWYCH | 12 |
| 10 | UWAGI KOŃCOWE | 13 |

II . ZESTAWIENIA STALI

III . CZĘŚĆ RYSUNKOWA

| Nr rys | nazwa | Skala |
|--------|---------------------------------|-------|
| 001 | Rzut fundamentów | 1:50 |
| 002 | Rzuty, aksonometria konstrukcji | 1:100 |
| 003 | Widoki ścian | 1:100 |
| 004 | Detale fundamentów | 1:20 |
| 005 | Pozycje wysyłkowe POZ. 100÷106 | 1:10 |
| 006 | Pozycje wysyłkowe POZ. 107÷121 | 1:10 |
| 007 | Pozycje wysyłkowe POZ. 122÷128 | 1:10 |
| 008 | Pozycje wysyłkowe POZ. 129÷144 | 1:10 |

OPIS TECHNICZNY

1 Dane ogólne

- 1.1 Inwestor : Gmina Kołbaskowo
Kołbaskowo 106
72-001 Kołbaskowo
- 1.2 Obiekt : Budowa ażurowego szkieletu stalowego odzwierciedlającego zarys dawnego kościoła, zabezpieczenie i wyeksponowanie zabytkowych fundamentów, stworzenie terenu rekreacyjnego w Warzymicach
- 1.3 Branża : Konstrukcja
- 1.4 Faza : Projekt budowlany
- 1.5 Lokalizacja : dz. nr 116, 117 i 131, obr. Warzymice

2 Podstawa opracowania

- 2.1 Zlecenie branży architektonicznej.
- 2.2 Opinia geotechniczna dotycząca warunków gruntowo-wodnych dla budowli imitującej kształt dawnego kościoła w Warzymicach, dz. nr 116 obręb 0021
- 2.3 Obciążenia zebrano zgodnie z:
- PN-82/B-02000 Obciążenia budowli. Zasady ustalania wartości.
 - PN-82/B-02001 Obciążenia budowli. Obciążenie stałe.
 - PN-82/B-02003 Obciążenia budowli. Obciążenie zmienne technologiczne. Podstawowe obciążenia technologiczne i montażowe.
 - PN-80/B-02010 Obciążenia w obliczeniach statycznych. Obciążenie śniegiem. (zmiana do PN-80/B-02010/Az1 – Dodatek do normy śniegowej)
 - PN-77/B-02011 Obciążenia w obliczeniach statycznych. Obciążenie wiatrem.
- 2.4 Elementy konstrukcyjne budynku wymiarowano zgodnie z:
- PN-90/B-03200 Konstrukcje stalowe. Obliczenia statyczne i projektowanie.
 - PN-81/B-03020 Grunty budowlane. Posadowienie bezpośrednie budowli Obliczenia statyczne i projektowanie.
 - PN-B-03264 2002 Konstrukcje betonowe, żelbetowe i sprężone. Obliczenia statyczne i projektowanie.

3 **Przedmiot i zakres opracowania**

Przedmiotem niniejszego opracowania jest sporządzenie projektu budowlanego budowy ażurowego szkieletu stalowego odzwierciedlającego zarys dawnego kościoła. Projekt obejmuje swym zakresem obliczenia statyczno-wytrzymałościowe oraz rozwiązania konstrukcyjno-materiałowe wykonane w zakresie pozwalającym na otrzymanie pozwolenia na budowę oraz prawidłowe prowadzenie prac.

4 **Warunki gruntowo-wodne i kategoria geotechniczna obiektu**

Badania geotechniczne zostały przeprowadzone w listopadzie 2017 roku przez firmę A11R.

W podłożu występuje warstwa gruntów o charakterze nasypu gruzowo-humusowego i nasypu kulturowego wyodrębnionego w otworze nr 1, dla którego określono wilgotność na poziomie $w=12,3\%$, gęstość objętościową $\rho=1,75\text{g/cm}^3$ i zawartość części organicznych $I_{om}=4,8\%$.

Kierując się genezą gruntów i jednolitością ich parametrów geotechnicznych w podłożu można wydzielić w zakresie opracowania jedną główną warstwę geotechniczną. Warstwę wierzchnią stanowią nasypy niekontrolowane: gruz ceglany, kamienie, wapno, przemieszane z humusem i piaskiem gliniastym.

W układzie warstw wydzielono następujące warstwy:

- Warstwa Ia
Warstwa glin, żółtobrązowych, twardoplastycznych
- Warstwa II
Warstwa glin piaszczystych twardoplastycznych na pograniczu półzwartych

Wody gruntowej nie stwierdzono.

Wg rozporządzenia Ministra Transportu, Budownictwa i Gospodarki Morskiej z dnia 25 kwietnia 2012r. w sprawie ustalania geotechnicznych warunków posadowienia obiektów budowlanych (Dz.U. 2012 poz. 463) na badanej działce występują:

-proste warunki gruntowe

-pierwsza kategoria geotechniczna

Szczegółowe parametry podłoża gruntowego opisano w opinii geotechnicznej z listopada 2017 roku dołączonej do projektu budowlanego.

Poziom posadzki dla budynku wynosi $\pm 0,00\text{m} = 35,95\text{ m n.p.m.}$

5 Roboty ziemne

- Grunt w otwartym wykopie chronić przed przemarzaniem i zawilgoceniem, aby nie spowodować pogorszenia nośności podłoża. W czasie wykonywania robót ziemnych należy w ciągu jednego dnia pogłębić wykop do żądanej głębokości i wykonać podlewkę wyrównującą pod fundamenty z betonu C8/10 (chudy beton), gr. 10cm. Następnie niezwłocznie wykonać pozostałą część fundamentu, po rozszalowaniu zabezpieczyć przeciwwilgociowo.
- Grunty antropogeniczne należy wymienić do głębokości ok. 50cm poniżej poziomu posadowienia na pospółkę układaną warstwami $0,20 \div 0,30\text{m}$ i zagęszczoną do $I_s \geq 0,97$. Ze względu na konieczność zachowania istniejących fundamentów zabytkowych w stanie nienaruszonym kategorycznie zabrania się stosowania metod wibracyjnych lub uderowych w procesie zagęszczania pospółki. Warstwy wymiany należy zagęszczać metodami statycznymi, np. za pomocą walca. Prace bezwzględnie należy prowadzić etapowo odcinkami długości 1m pod stałym nadzorem uprawnionego kierownika budowy. Dopuszcza się wydłużenie odcinków do 2m, jeśli kierownik uzna, że taka długość nie stanowi zagrożenia dla istniejących zabytkowych fundamentów. Odcinki, nad którymi prace odbywają się jednocześnie muszą być od siebie oddalone o min. 5m.
- W przypadku konieczności pozostawienia budynku w stanie surowym na okres zimy, należy chronić fundamenty i posadzki przyziemia przed przemarzaniem.

6 Opis rozwiązań konstrukcyjnych

Obiekt zaprojektowano jako szkielet stalowy, pozbawiony warstw osłonowych.

6.1 Posadowienie

Zaprojektowano posadowienie bezpośrednie konstrukcji za pomocą stóp fundamentowych o poziomie posadowienia $-1,000\text{m}$. Stopy projektuje się z betonu

C25/30 W6, zbrojonego stalą BSt500 o otulinie dolnej 5cm i bocznych 3cm. Wysokość stóp 40÷50cm, wymiary w rzucie wg rysunków konstrukcji.

Stopy należy dylatować od fundamentów istniejących za pomocą płyt z polistyrenu ekstrudowanego XPS50 grubości ~40mm – grubość należy zweryfikować na budowie.

Dodatkowo pomiędzy stopami projektuje się ławy fundamentowe z betonu C25/30 W6, zbrojone stalą BSt500. Zbrojenie układać mniej więcej w osi ławy przy zachowaniu minimalnej otuliny 5cm. Wymiary ław 50x50cm. Poziom posadowienia -1,000m. Zbrojenie ław fundamentowych należy przepuścić przez stopy fundamentowe.

Wszystkie fundamenty należy wylewać na poduszce z chudego betonu C8/10. Pod wszystkie fundamenty należy wykonywać wymianę gruntu zgodnie z pkt. 5 niniejszego opisu technicznego.

6.2 Konstrukcja stalowa

Projektuje się szkieletową konstrukcję stalową. Elementy nośne projektuje się z profili RP300x200 oraz RK200x200 o różnych grubościach ścianek. Elementy główne łączone na spawy. Słupy stalowe w osiach ścian bocznych łączone na sztywno ze stopami fundamentowymi za pomocą kotew płytkowych $\varnothing 20$. Układy podwójnych słupów w ścianach szczytowych mocowane przegubowo za pomocą tych samych kotew. Projektuje się ponadto stężenia wiotkie w połaciach dachowych, ścianach szczytowych oraz ścianach wieży. Stężenia projektuje się z prętów $\varnothing 20$.

7 Pielęgnacja i dojrzewanie betonu

W okresie pielęgnacji betonu należy:

- chronić odsłonięte powierzchnie betonu przed szkodliwym działaniem warunków atmosferycznych, a szczególnie wiatru i promieni słonecznych (a w okresie zimowym mrozu) przez ich osłanianie i zwilżanie w dostosowaniu do pory roku,
- utrzymywać ułożony beton w stałej wilgotności przez co najmniej 7 dni przy stosowaniu cementów portlandzkich,
- polewać wodą beton normalnie twardniejący, rozpoczynając po 24 godzinach od chwili jego ułożenia:

TERRA NATURA Joanna Szydłowska, ul. Dzielnicowa 26, 71-743 Szczecin

Tel. 661 150 250, e-mail: biuro@terranatura.pl www.terranatura.pl

– przy temperaturze $+15^{\circ}\text{C}$ i wyżej beton należy polewać w ciągu pierwszych 3 dni co 3 godziny w dzień i co najmniej jeden raz w nocy, a w następne dni co najmniej 3 razy na dobę,

– przy temperaturze poniżej $+5^{\circ}\text{C}$ betonu nie należy polewać.

Powierzchnia betonu może być powlekana środkami błonotwórczymi zabezpieczającymi przed parowaniem wody.

8 Zabezpieczenia elementów betonowych

Elementy betonowe stykające się z gruntem:

Izolacja pozioma: 2x papa na lepiku,

Izolacja pionowa: Superflex 10 rozcieńczony 1:10 lub równoważna

Eurolan 3k firmy Deitermann lub równoważna

9 Zabezpieczenie antykorozyjne elementów stalowych

Elementy stalowe zabezpieczone poprzez malowanie farbami poliuretanowymi.

Zestaw malarski składa się z warstw:

- I Warstwa (podkład) - gr $60\mu\text{m}$ – farba poliuretanowa, jednoskładnikowa utwardzana wilgocą do gruntowania

- II Warstwa (międzywarstwa) - gr $50\mu\text{m}$ – farba poliuretanowa, jednoskładnikowa utwardzana wilgocą

- III Warstwa (międzywarstwa) - gr $50\mu\text{m}$ – farba poliuretanowa, jednoskładnikowa utwardzana wilgocą

Grubość całkowita zestawu - $160\mu\text{m}$

Kategoria korozji C3

Dodatkowo należy zabezpieczać odcinki słupów stalowych stykające się z gruntem za pomocą masy bitumicznej np. SUPERFLEX 10 lub równoważnej.

10 Uwagi końcowe

- W przypadku stwierdzenia warunków odmiennych od założonych w projekcie niezwłocznie powiadomić Projektanta.
- Prace budowlane należy wykonywać zgodnie z dokumentacją techniczną i sztuką budowlaną oraz obowiązującymi normami i wymaganiami technicznymi z zachowaniem Przepisów o Bezpieczeństwie i Ochronie Zdrowia.
- Projekt budowlany jest objęty prawem autorskim. Wszelkie kopiowanie, powielanie i dokonywanie zmian w projekcie jest niedozwolone.
- Wszystkie roboty budowlano-montażowe wykonywać zgodnie z obowiązującymi przepisami, normami w zakresie budownictwa oraz „Warunkami technicznymi wykonywania i odbioru robót”. Wszelkie zmiany należy konsultować z projektantem.

Opracował:

mgr inż. Bartosz Januszewski

upr.proj. ZAP/0102/POOK/08

Szczecin, grudzień 2017r.

WYCIĄG Z OBLICZEŃ PODSTAWOWYCH ELEMENTÓW

(kompletne obliczenia do wglądu w siedzibie firmy)

ZESTAWIENIE OBCIĄŻEŃ

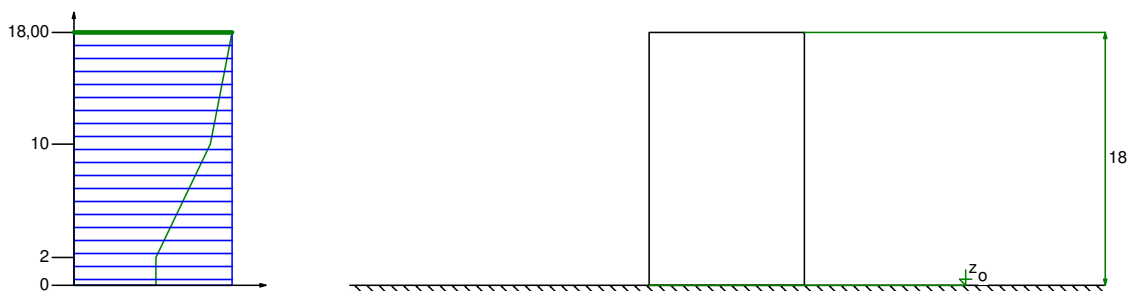
0.1. Wiatr

Rodzaj: wiatr

Typ: zmienne

0.1.1. Wiatr - naw

Charakterystyczne ciśnienie prędkości wiatru $q_k = 0,30 \text{ kN/m}^2$ przyjęto jak dla strefy I. Współczynnik ekspozycji $C_e = 1,16$ przyjęto jak dla terenu A i wysokości nad poziomem gruntu $z = 18,00 \text{ m}$. Ponieważ $H/L \leq 2$ przyjęto stały po wysokości rozkład współczynnika ekspozycji C_e o wartości jak dla punktu najwyższego.

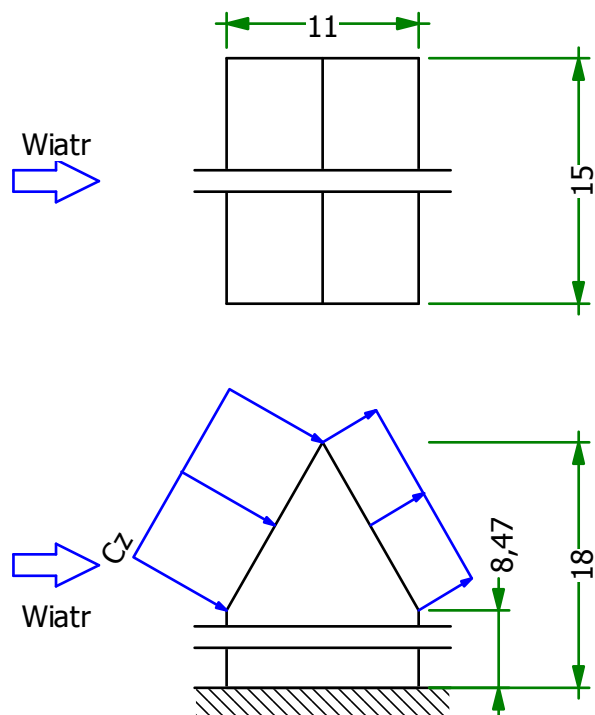


Współczynnik działania porywów wiatru $\beta = 1,80$ przyjęto jak do obliczeń budowli niepodatnych na dynamiczne działanie wiatru (logarytmiczny dekrement tłumienia $\Delta = 0,20$; okres drgań własnych $T = 0,20 \text{ s}$).

Współczynnik aerodynamiczny C połaci nawietrznej dachu dwuspadowego ($\alpha = 60^\circ$) wg wariantu II równy jest $C = C_z - C_w = 0,70$, gdzie:

$C_z = 0,70$ jest współczynnikiem ciśnienia zewnętrznego,

$C_w = 0,00$ jest współczynnikiem ciśnienia wewnętrznego.



Charakterystyczna wartość obciążenia wiatrem:

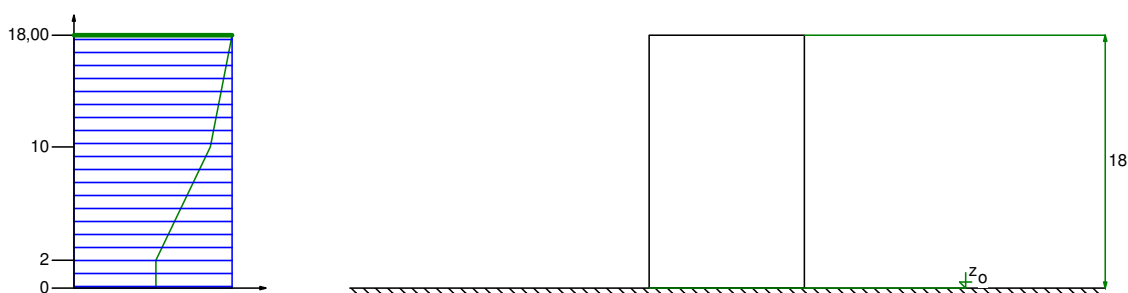
$$Q_k = 0,3 \text{ kN/m}^2 \cdot 1,16 \cdot (0,70 - 0,00) \cdot 1,8 = 0,44 \text{ kN/m}^2.$$

Obliczeniowa wartość obciążenia wiatrem:

$$Q_o = 0,66 \text{ kN/m}^2, \quad \gamma_f = 1,50.$$

0.1.2. Wiatr - zaw

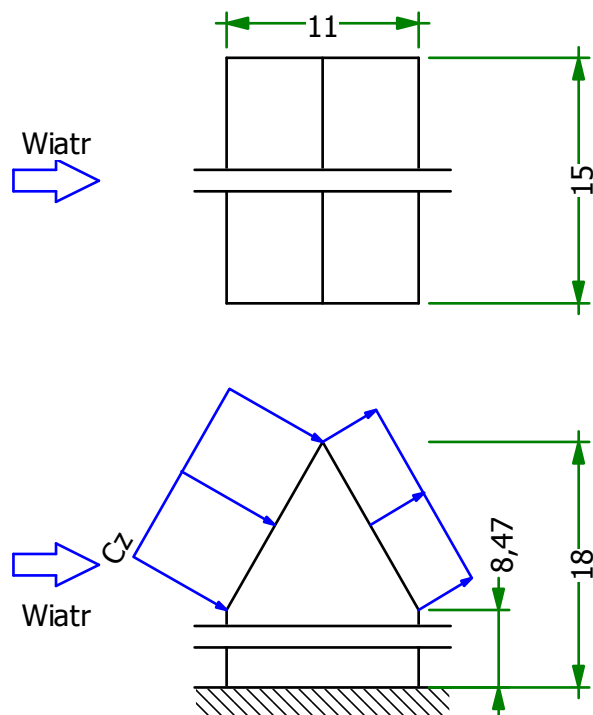
Charakterystyczne ciśnienie prędkości wiatru $q_k = 0,30 \text{ kN/m}^2$ przyjęto jak dla strefy I. Współczynnik ekspozycji $C_e = 1,16$ przyjęto jak dla terenu A i wysokości nad poziomem gruntu $z = 18,00 \text{ m}$. Ponieważ $H/L \leq 2$ przyjęto stały po wysokości rozkład współczynnika ekspozycji C_e o wartości jak dla punktu najwyższego.



Współczynnik działania porywów wiatru $\beta = 1,80$ przyjęto jak do obliczeń budowli niepodatnych na dynamiczne działanie wiatru (logarytmiczny dekrement tłumienia $\Delta = 0,20$; okres drgań własnych $T = 0,20 \text{ s}$).

Współczynnik aerodynamiczny C połaci zawietrznej dachu dwuspadowego ($\alpha = 60^\circ$) wg wariantu II równy jest $C = C_z - C_w = -0,40$, gdzie:

$C_z = -0,40$ jest współczynnikiem ciśnienia zewnętrznego,
 $C_w = 0,00$ jest współczynnikiem ciśnienia wewnętrznego.



Charakterystyczna wartość obciążenia wiatrem:

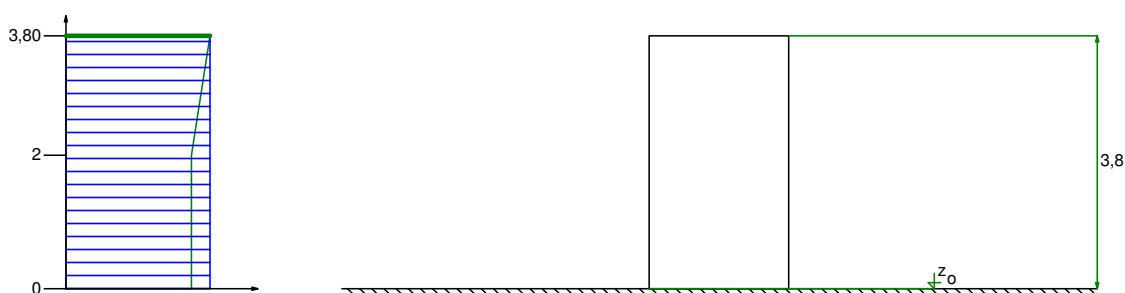
$$Q_k = 0,3 \text{ kN/m}^2 \cdot 1,16 \cdot (-0,40 - 0,00) \cdot 1,8 = -0,25 \text{ kN/m}^2.$$

Obliczeniowa wartość obciążenia wiatrem:

$$Q_o = -0,38 \text{ kN/m}^2, \quad \gamma_f = 1,50.$$

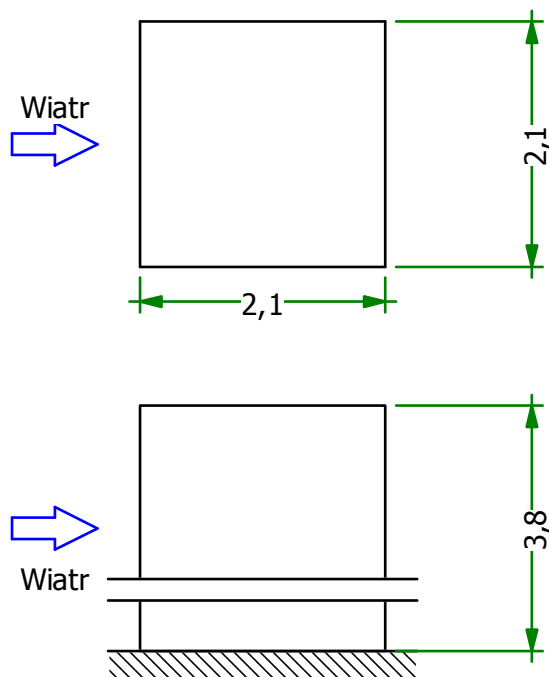
0.1.3. Wiatr - sciana zaw

Charakterystyczne ciśnienie prędkości wiatru $q_k = 0,30 \text{ kN/m}^2$ przyjęto jak dla strefy I .
Współczynnik ekspozycji $C_e = 0,69$ przyjęto jak dla terenu A i wysokości nad poziomem gruntu $z = 3,80 \text{ m}$. Ponieważ $H/L \leq 2$ przyjęto stały po wysokości rozkład współczynnika ekspozycji C_e o wartości jak dla punktu najwyższego.



Współczynnik działania porywów wiatru $\beta = 1,80$ przyjęto jak do obliczeń budowli niepodatnych na dynamiczne działanie wiatru (logarytmiczny dekrement tłumienia $\Delta = 0,20$; okres drgań własnych $T = 0,20 \text{ s}$).

Współczynnik aerodynamiczny C powierzchni zawietrznej budynków i przegród równy jest $C = C_z - C_w = -0,35$, gdzie:
 $C_z = -0,35$ jest współczynnikiem ciśnienia zewnętrznego,
 $C_w = 0,00$ jest współczynnikiem ciśnienia wewnętrznego.



Charakterystyczna wartość obciążenia wiatrem:

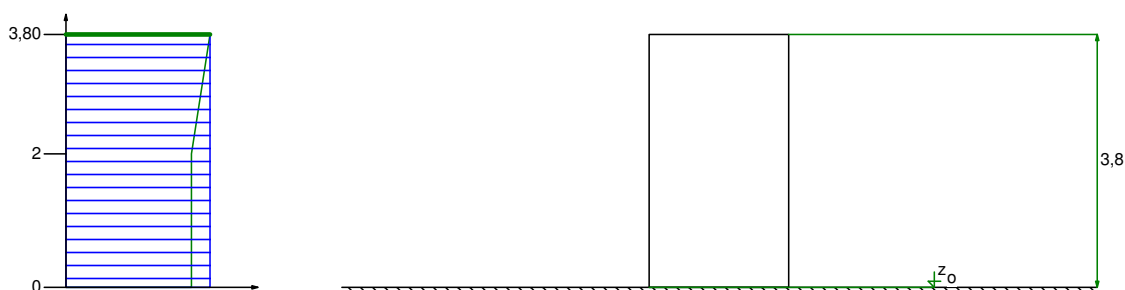
$$Q_k = 0,3 \text{ kN/m}^2 \cdot 0,69 \cdot (-0,35 - 0,00) \cdot 1,8 = -0,13 \text{ kN/m}^2.$$

Obliczeniowa wartość obciążenia wiatrem:

$$Q_o = -0,20 \text{ kN/m}^2, \quad \gamma_f = 1,50.$$

0.1.4. Wiatr - sciana naw

Charakterystyczne ciśnienie prędkości wiatru $q_k = 0,30 \text{ kN/m}^2$ przyjęto jak dla strefy I.
Współczynnik ekspozycji $C_e = 0,69$ przyjęto jak dla terenu A i wysokości nad poziomem gruntu $z = 3,80 \text{ m}$. Ponieważ $H/L \leq 2$ przyjęto stały po wysokości rozkład współczynnika ekspozycji C_e o wartości jak dla punktu najwyższego.



Współczynnik działania porywów wiatru $\beta = 1,80$ przyjęto jak do obliczeń budowli

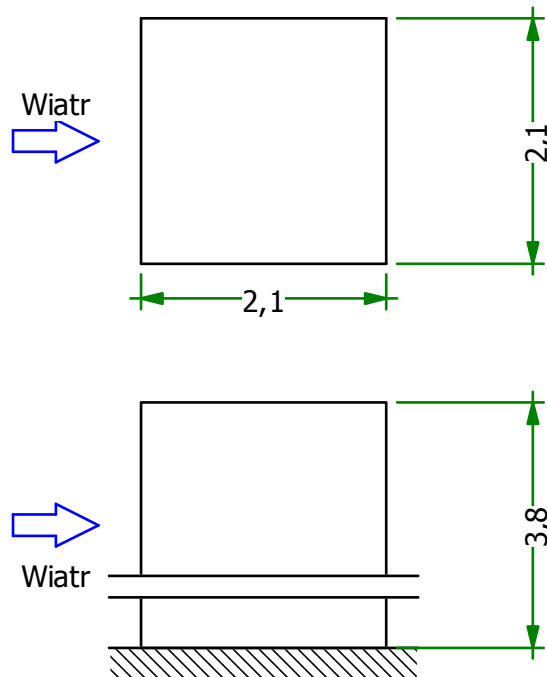
niepodatnych na dynamiczne działanie wiatru (logarytmiczny dekrement tłumienia $\Delta = 0,20$; okres drgań własnych $T = 0,20$ s).

Współczynnik aerodynamiczny C powierzchni nawietrznej budynków i przegród równy jest

$C = C_z - C_w = 0,70$, gdzie:

$C_z = 0,70$ jest współczynnikiem ciśnienia zewnętrznego,

$C_w = 0,00$ jest współczynnikiem ciśnienia wewnętrznego.



Charakterystyczna wartość obciążenia wiatrem:

$$Q_k = 0,3 \text{ kN/m}^2 \cdot 0,69 \cdot (0,70 - 0,00) \cdot 1,8 = 0,26 \text{ kN/m}^2.$$

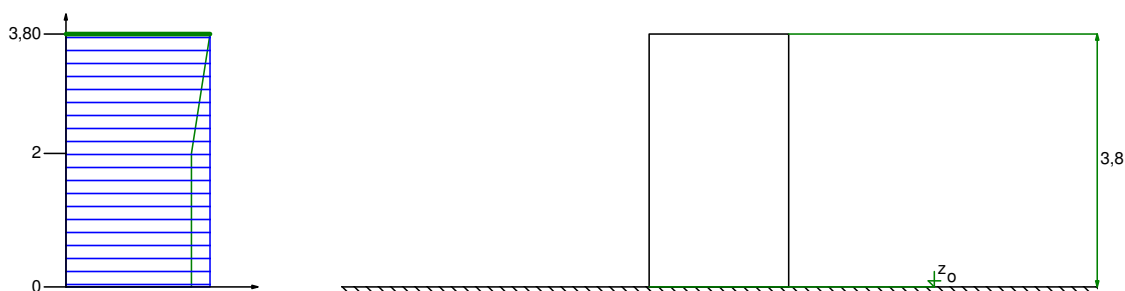
Obliczeniowa wartość obciążenia wiatrem:

$$Q_o = 0,39 \text{ kN/m}^2, \quad \gamma_f = 1,50.$$

0.1.5. Wiatr - sciana bocz

Charakterystyczne ciśnienie prędkości wiatru $q_k = 0,30 \text{ kN/m}^2$ przyjęto jak dla strefy I.

Współczynnik ekspozycji $C_e = 0,69$ przyjęto jak dla terenu A i wysokości nad poziomem gruntu $z = 3,80$ m. Ponieważ $H/L \leq 2$ przyjęto stały po wysokości rozkład współczynnika ekspozycji C_e o wartości jak dla punktu najwyższego.



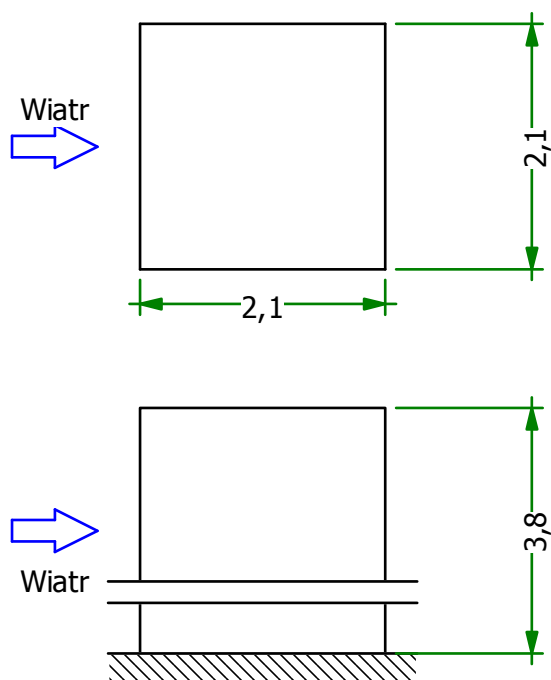
Współczynnik działania porywów wiatru $\beta = 1,80$ przyjęto jak do obliczeń budowli niepodatnych na dynamiczne działanie wiatru (logarytmiczny dekrement tłumienia $\Delta = 0,20$; okres drgań własnych $T = 0,20$ s).

Współczynnik aerodynamiczny C powierzchni bocznej budynków i przegród równy jest $C =$

$C_z - C_w = -0,60$, gdzie:

$C_z = -0,60$ jest współczynnikiem ciśnienia zewnętrznego,

$C_w = 0,00$ jest współczynnikiem ciśnienia wewnętrznego.



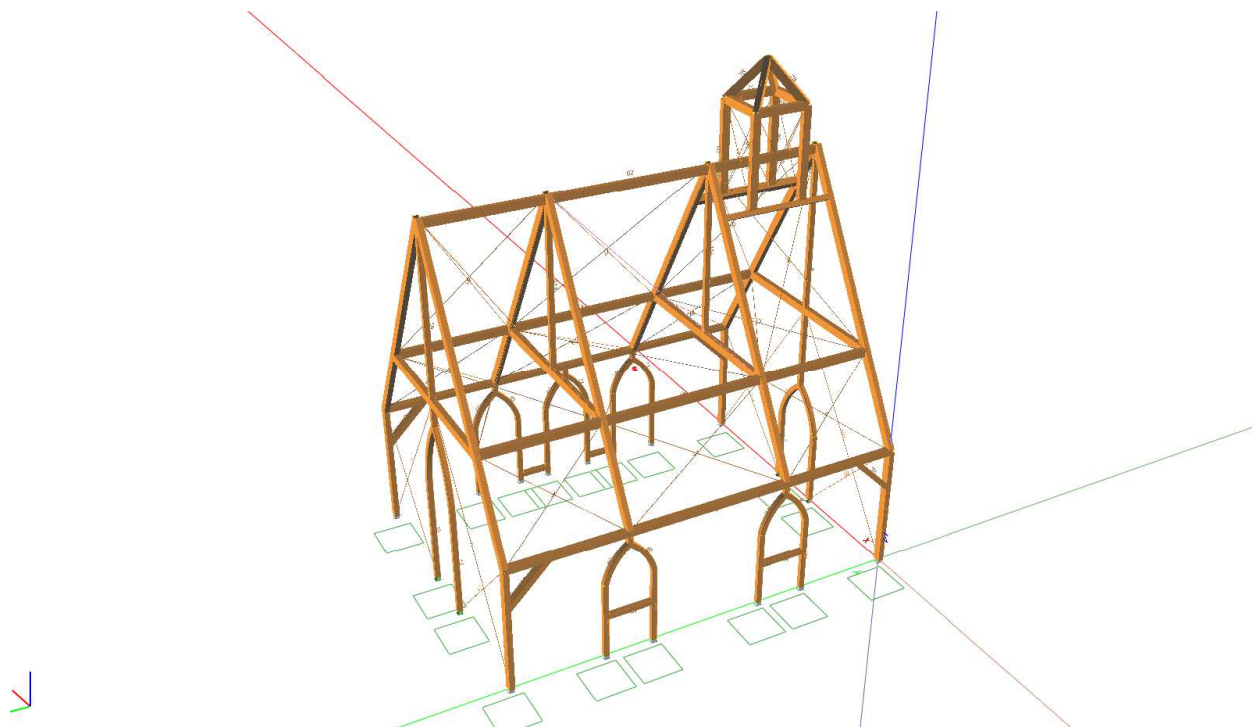
Charakterystyczna wartość obciążenia wiatrem:

$$Q_k = 0,3 \text{ kN/m}^2 \cdot 0,69 \cdot (-0,60 - 0,00) \cdot 1,8 = -0,22 \text{ kN/m}^2.$$

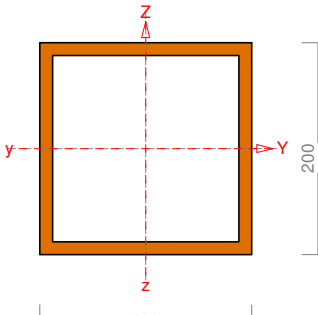
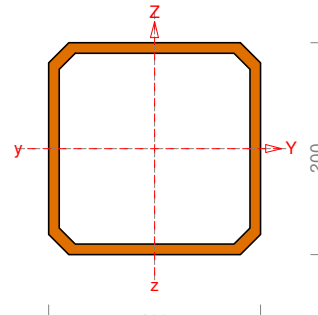
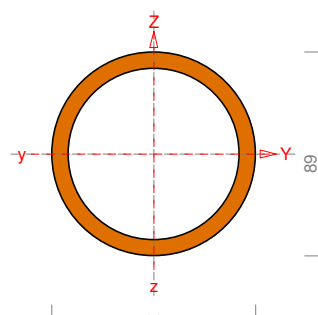
Obliczeniowa wartość obciążenia wiatrem:

$$Q_o = -0,33 \text{ kN/m}^2, \quad \gamma_f = 1,50.$$

MODEL OBLICZENIOWY

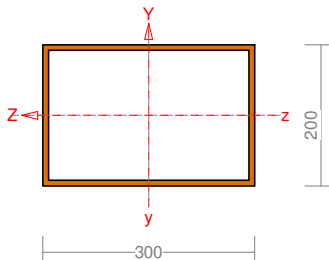
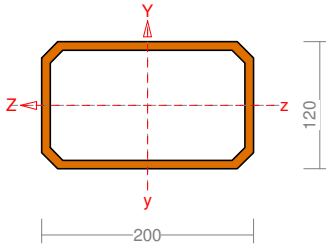
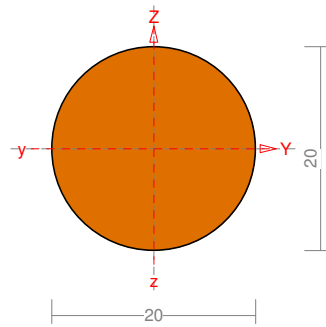
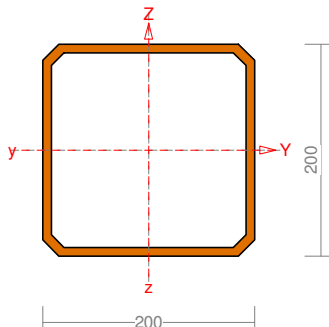
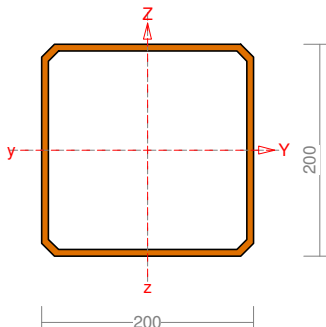
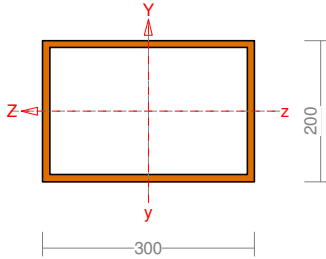


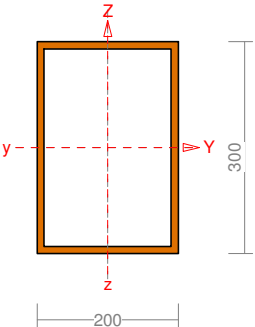
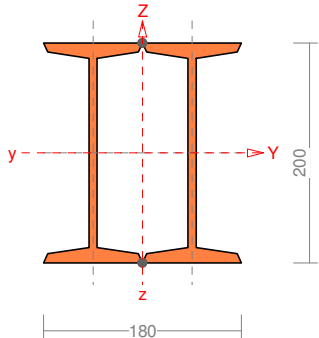
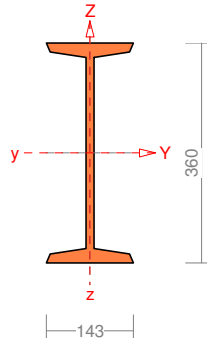
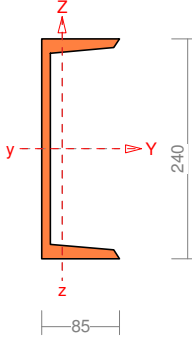
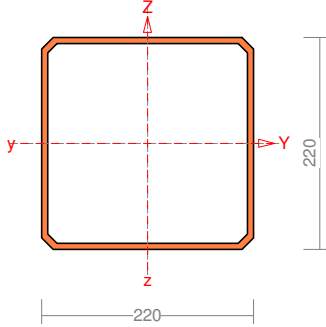
Przekroje:

| 1 - H *200x200x12 | | 2 - H 200x200x10.0 | | 3 - R 88.9x 7.1 | |
|---|---------|---|---------|---|--------|
|  | |  | |  | |
| Materiał: | S 235 | Materiał: | S 235 | Materiał: | S 235 |
| A [cm ²] | 90,24 | A [cm ²] | 73,40 | A [cm ²] | 18,25 |
| Jy [cm ⁴] | 5337,40 | Jy [cm ⁴] | 4340,00 | Jy [cm ⁴] | 153,76 |
| Jz [cm ⁴] | 5337,40 | Jz [cm ⁴] | 4340,00 | Jz [cm ⁴] | 153,76 |
| Dyz [cm ⁴] | 0,00 | Dyz [cm ⁴] | 0,00 | Dyz [cm ⁴] | 0,00 |
| α [Deg] | 0,00 | α [Deg] | 0,00 | α [Deg] | 0,00 |
| Iy [cm ⁴] | 5337,40 | Iy [cm ⁴] | 4340,00 | Iy [cm ⁴] | 153,76 |
| Iz [cm ⁴] | 5337,40 | Iz [cm ⁴] | 4340,00 | Iz [cm ⁴] | 153,76 |
| Jt [cm ⁴] | 7973,61 | Jt [cm ⁴] | 7013,41 | Jt [cm ⁴] | 302,51 |
| Jω [cm ⁴] | 0,00 | Jω [cm ⁴] | 175,08 | Jω [cm ⁴] | 0,00 |
| iy [cm] | 7,69 | iy [cm] | 7,69 | iy [cm] | 2,90 |
| iz [cm] | 7,69 | iz [cm] | 7,69 | iz [cm] | 2,90 |
| is [cm] | 10,88 | is [cm] | 10,87 | is [cm] | 4,10 |
| m [kg/m] | 70,84 | m [kg/m] | 57,62 | m [kg/m] | 14,33 |

TERRA NATURA Joanna Szydłowska, ul. Dzielnicowa 26, 71-743 Szczecin

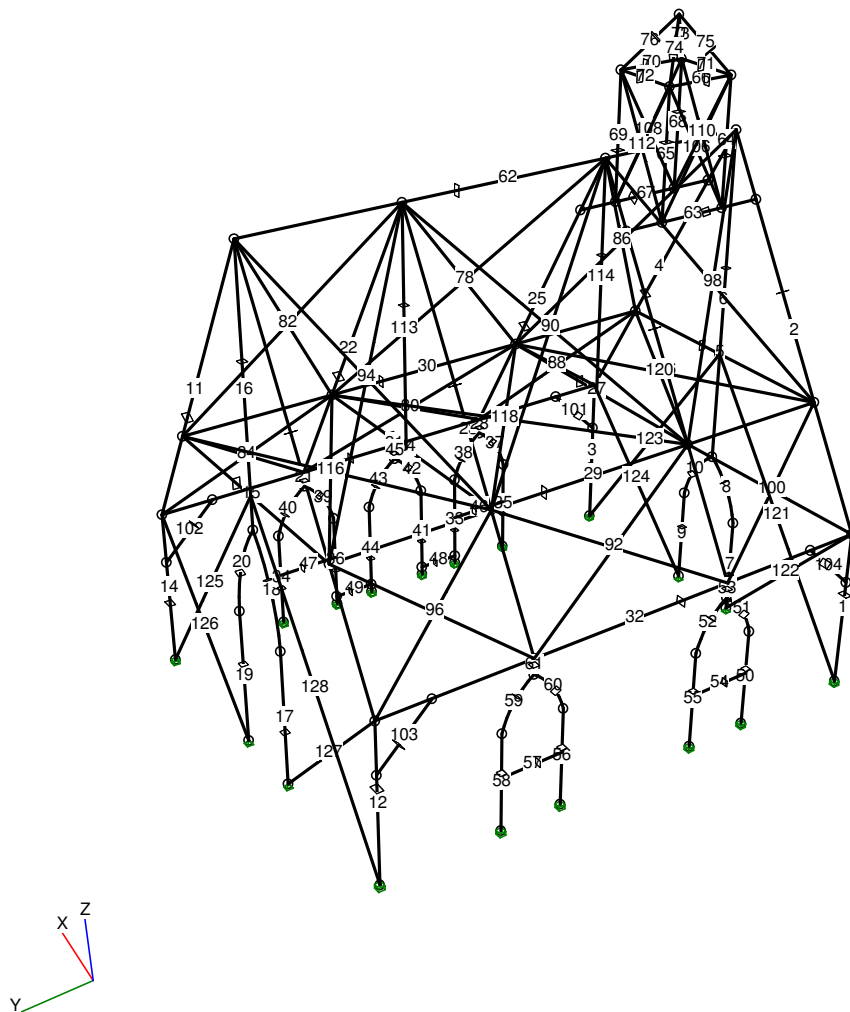
Tel. 661 150 250, e-mail: biuro@terrannatura.pl www.terrannatura.pl

| | | | | | |
|---|----------|--|---------|---|----------|
| 4 - H *200x300x8 | | 5 - H 200x120x 8.0 | | 6 - R *20x10 | |
|  | |  | |  | |
| Material: | S 235 | Material: | S 235 | Material: | S 235 |
| A [cm ²] | 77,44 | A [cm ²] | 47,00 | A [cm ²] | 3,14 |
| Jy [cm ⁴] | 5256,84 | Jy [cm ⁴] | 1100,00 | Jy [cm ⁴] | 0,79 |
| Jz [cm ⁴] | 9877,00 | Jz [cm ⁴] | 2440,00 | Jz [cm ⁴] | 0,79 |
| Dyz [cm ⁴] | 0,00 | Dyz [cm ⁴] | 0,00 | Dyz [cm ⁴] | 0,00 |
| α [Deg] | 90,00 | α [Deg] | 90,00 | α [Deg] | 0,00 |
| Iy [cm ⁴] | 9877,00 | Iy [cm ⁴] | 2440,00 | Iy [cm ⁴] | 0,79 |
| Iz [cm ⁴] | 5256,84 | Iz [cm ⁴] | 1100,00 | Iz [cm ⁴] | 0,79 |
| Jt [cm ⁴] | 10390,65 | Jt [cm ⁴] | 2483,92 | Jt [cm ⁴] | 0,78 |
| Jω [cm ⁴] | 21647,19 | Jω [cm ⁴] | 3159,61 | Jω [cm ⁴] | 0,00 |
| iy [cm] | 11,29 | iy [cm] | 7,21 | iy [cm] | 0,50 |
| iz [cm] | 8,24 | iz [cm] | 4,84 | iz [cm] | 0,50 |
| is [cm] | 13,98 | is [cm] | 8,68 | is [cm] | 0,71 |
| m [kg/m] | 60,79 | m [kg/m] | 36,90 | m [kg/m] | 2,47 |
| 7 - H 200x200x 8.0 | | 8 - H 200x200x 6.3 | | 9 - H *200x300x10 | |
|  | |  | |  | |
| Material: | S 235 | Material: | S 235 | Material: | S 235 |
| A [cm ²] | 59,80 | A [cm ²] | 47,80 | A [cm ²] | 96,00 |
| Jy [cm ⁴] | 3620,00 | Jy [cm ⁴] | 2960,00 | Jy [cm ⁴] | 6392,00 |
| Jz [cm ⁴] | 3620,00 | Jz [cm ⁴] | 2960,00 | Jz [cm ⁴] | 12072,00 |
| Dyz [cm ⁴] | 0,00 | Dyz [cm ⁴] | 0,00 | Dyz [cm ⁴] | 0,00 |
| α [Deg] | 0,00 | α [Deg] | 0,00 | α [Deg] | 90,00 |
| Iy [cm ⁴] | 3620,00 | Iy [cm ⁴] | 2960,00 | Iy [cm ⁴] | 12072,00 |
| Iz [cm ⁴] | 3620,00 | Iz [cm ⁴] | 2960,00 | Iz [cm ⁴] | 6392,00 |
| Jt [cm ⁴] | 5786,02 | Jt [cm ⁴] | 4668,50 | Jt [cm ⁴] | 12650,04 |
| Jω [cm ⁴] | 114,65 | Jω [cm ⁴] | 68,08 | Jω [cm ⁴] | 26354,25 |
| iy [cm] | 7,78 | iy [cm] | 7,87 | iy [cm] | 11,21 |
| iz [cm] | 7,78 | iz [cm] | 7,87 | iz [cm] | 8,16 |
| is [cm] | 11,00 | is [cm] | 11,13 | is [cm] | 13,87 |
| m [kg/m] | 46,94 | m [kg/m] | 37,52 | m [kg/m] | 75,36 |
| 10 - H *300x200x10 | | 11 - 2 I 200 | | 12 - I 360 | |

| | | | | | |
|---|----------------|--|----------------|---|----------------|
|  | |  | |  | |
| Material: | S 235 | Material: | St3S (X,Y,V,W) | Material: | St3S (X,Y,V,W) |
| A [cm ²] | 96,00 | A [cm ²] | 67,00 | A [cm ²] | 97,10 |
| Jy [cm ⁴] | 12072,00 | Jy [cm ⁴] | 4280,00 | Jy [cm ⁴] | 19610,00 |
| Jz [cm ⁴] | 6392,00 | Jz [cm ⁴] | 1590,75 | Jz [cm ⁴] | 818,00 |
| Dyz [cm ⁴] | 0,00 | Dyz [cm ⁴] | 0,00 | Dyz [cm ⁴] | 0,00 |
| α [Deg] | 0,00 | α [Deg] | 0,00 | α [Deg] | 0,00 |
| Iy [cm ⁴] | 12072,00 | Iy [cm ⁴] | 4280,00 | Iy [cm ⁴] | 19610,00 |
| Iz [cm ⁴] | 6392,00 | Iz [cm ⁴] | 1590,75 | Iz [cm ⁴] | 818,00 |
| Jt [cm ⁴] | 12650,04 | Jt [cm ⁴] | 1734,85 | Jt [cm ⁴] | 109,05 |
| Jω [cm ⁴] | 26354,25 | Jω [cm ⁴] | 43794,52 | Jω [cm ⁴] | 237596,91 |
| iy [cm] | 11,21 | iy [cm] | 7,99 | iy [cm] | 14,21 |
| iz [cm] | 8,16 | iz [cm] | 4,87 | iz [cm] | 2,90 |
| is [cm] | 13,87 | is [cm] | 9,36 | is [cm] | 14,50 |
| m [kg/m] | 75,36 | m [kg/m] | 52,59 | m [kg/m] | 76,22 |
| 13 - U 240 | | 14 - H 220x220x 6.3 | | | |
|  | |  | | | |
| Material: | St3S (X,Y,V,W) | Material: | St3S (X,Y,V,W) | Material: | |
| A [cm ²] | 42,30 | A [cm ²] | 52,80 | A [cm ²] | |
| Jy [cm ⁴] | 3600,00 | Jy [cm ⁴] | 3980,00 | Jy [cm ⁴] | |
| Jz [cm ⁴] | 248,00 | Jz [cm ⁴] | 3980,00 | Jz [cm ⁴] | |
| Dyz [cm ⁴] | 0,00 | Dyz [cm ⁴] | 0,00 | Dyz [cm ⁴] | |
| α [Deg] | 0,00 | α [Deg] | 0,00 | α [Deg] | |
| Iy [cm ⁴] | 3600,00 | Iy [cm ⁴] | 3980,00 | Iy [cm ⁴] | |
| Iz [cm ⁴] | 248,00 | Iz [cm ⁴] | 3980,00 | Iz [cm ⁴] | |
| Jt [cm ⁴] | 19,18 | Jt [cm ⁴] | 6262,51 | Jt [cm ⁴] | |
| Jω [cm ⁴] | 22043,72 | Jω [cm ⁴] | 96,54 | Jω [cm ⁴] | |
| iy [cm] | 9,23 | iy [cm] | 8,68 | iy [cm] | |
| iz [cm] | 2,42 | iz [cm] | 8,68 | iz [cm] | |
| is [cm] | 10,56 | is [cm] | 12,28 | is [cm] | |
| m [kg/m] | 33,21 | m [kg/m] | 41,45 | m [kg/m] | |

Materialy:

| Nr: | Rodzaj: | Nazwa: | E: | G: | ν : | α_T : | ρ : | Ro: |
|-----|-----------|----------------|-------|-------|---------|--------------|----------------------|-------|
| | | | [GPa] | [GPa] | [-] | [1/K] | [kg/m ³] | [MPa] |
| 1 | Stal 1993 | S 235 | 210 | 81 | 0,3 | 0 | 7850 | 235 |
| 57 | Stal | St3S (X,Y,V,W) | 205 | 80 | 0,3 | 0 | 7850 | 205 |



Wyniki wymiarowania stali wg PN-EN 1993

Nazwa pliku: kosciol_v04.rm3

| Nr pręta: | Grupa: | Przekrój: | Warunek decydujący: | Nośność: | Kombinacja obc. |
|-----------|----------------------|--------------------|------------------------------------|----------|------------------------------|
| 10 | ściana szczytowa 1 | 2 - H 200x200x10.0 | Zginanie | 0,312 | 1,35·0,85·(CW+St)+1,5·W1 (b) |
| 20 | ściana szczytowa 2 | 8 - H 200x200x 6.3 | Zginanie i ściskanie (Stateczność) | 0,238 | 1,35·0,85·(CW+St)+1,5·W1 (b) |
| 19 | ściana szczytowa 2 | 8 - H 200x200x 6.3 | Zginanie i ściskanie (Stateczność) | 0,229 | 1,35·0,85·(CW+St)+1,5·W1 (b) |
| 9 | ściana szczytowa 1 | 1 - H *200x200x12 | Zginanie i ściskanie (Stateczność) | 0,226 | 1,35·0,85·(CW+St)+1,5·W1 (b) |
| 18 | ściana szczytowa 2 | 8 - H 200x200x 6.3 | Zginanie | 0,221 | 1,35·(CW+St)+1,5·0,6·W1 (a) |
| 8 | ściana szczytowa 1 | 2 - H 200x200x10.0 | Zginanie | 0,197 | 1,35·(CW+St)+1,5·0,6·W1 (a) |
| 26 | Krokwie | 10 - H *300x200x10 | SGU | 0,192 | CW+St+W1 |
| 23 | Krokwie | 10 - H *300x200x10 | SGU | 0,184 | CW+St+W1 |
| 6 | ściana szczytowa 1 | 2 - H 200x200x10.0 | Zginanie | 0,155 | 1,35·0,85·(CW+St)+1,5·W1 (b) |
| 2 | ściana szczytowa 1 | 10 - H *300x200x10 | SGU | 0,143 | CW+St+W1 |
| 13 | ściana szczytowa 2 | 10 - H *300x200x10 | SGU | 0,129 | CW+St+W1 |
| 4 | ściana szczytowa 1 | 10 - H *300x200x10 | Środek pod obc. skup. | 0,098 | 1,35·0,85·(CW+St)+1,5·W1 (b) |
| 17 | ściana szczytowa 2 | 8 - H 200x200x 6.3 | Zginanie i ściskanie (Stateczność) | 0,091 | 1,35·(CW+St)+1,5·0,6·W1 (a) |
| 67 | wieża | 10 - H *300x200x10 | Zginanie | 0,090 | 1,35·0,85·(CW+St)+1,5·W1 (b) |
| 11 | ściana szczytowa 2 | 10 - H *300x200x10 | Zginanie i ściskanie (Stateczność) | 0,082 | 1,35·0,85·(CW+St)+1,5·W1 (b) |
| 52 | ściana boczna 2 | 8 - H 200x200x 6.3 | Zginanie | 0,075 | 1,35·0,85·(CW+St)+1,5·W1 (b) |
| 31 | ściana boczna 1 | 10 - H *300x200x10 | Zginanie | 0,073 | 1,35·0,85·(CW+St)+1,5·W1 (b) |
| 16 | ściana szczytowa 2 | 8 - H 200x200x 6.3 | Zginanie i ściskanie (Stateczność) | 0,071 | 1,35·(CW+St)+1,5·0,6·W1 (a) |
| 7 | ściana szczytowa 1 | 1 - H *200x200x12 | Zginanie i ściskanie (Stateczność) | 0,068 | 1,35·(CW+St)+1,5·0,6·W1 (a) |
| 60 | ściana boczna 2 | 8 - H 200x200x 6.3 | Zginanie | 0,067 | 1,35·0,85·(CW+St)+1,5·W1 (b) |
| 30 | rama pod oświetlenie | 10 - H *300x200x10 | Zginanie | 0,067 | 1,35·0,85·(CW+St)+1,5·W1 (b) |
| 22 | Krokwie | 10 - H *300x200x10 | Zginanie i ściskanie (Stateczność) | 0,065 | 1,35·0,85·(CW+St)+1,5·W1 (b) |
| 69 | wieża | 10 - H *300x200x10 | Zginanie i ściskanie (Stateczność) | 0,064 | 1,35·0,85·(CW+St)+1,5·W1 (b) |
| 63 | wieża | 10 - H *300x200x10 | Zginanie | 0,063 | 1,35·(CW+St)+1,5·0,6·W1 (a) |
| 51 | ściana boczna 2 | 8 - H 200x200x 6.3 | Środek pod obc. skup. | 0,062 | 1,35·(CW+St)+1,5·0,6·W1 (a) |
| 14 | ściana szczytowa 2 | 10 - H *300x200x10 | Zginanie i ściskanie (Stateczność) | 0,060 | 1,35·0,85·(CW+St)+1,5·W1 (b) |
| 59 | ściana boczna 2 | 8 - H 200x200x 6.3 | Środek pod obc. skup. | 0,059 | 1,35·0,85·(CW+St)+1,5·W1 (b) |
| 3 | ściana szczytowa 1 | 10 - H *300x200x10 | Zginanie i ściskanie (Stateczność) | 0,058 | 1,35·0,85·(CW+St)+1,5·W1 (b) |

TERRA NATURA Joanna Szydłowska, ul. Dzielnicowa 26, 71-743 Szczecin

Tel. 661 150 250, e-mail: biuro@terranatura.pl www.terranatura.pl

| | | | | | | |
|-----|-------------------------|-----------------------|---------------------------------------|-------|--------------------------|---------------------------------|
| 25 | Krokwie | 10 - H *300x200x10 | Zginanie i ściskanie (Stateczność) | 0,054 | <input type="checkbox"/> | 1,35·0,85·(CW+St)+1,5·W1 (b) |
| 38 | ściana boczna 1 | 8 - H 200x200x 6.3 | Środnik pod obc. skup. | 0,053 | <input type="checkbox"/> | 1,35·(CW+St)+1,5·0,6·W1 (a) |
| 33 | ściana boczna 1 | 2 - H 200x200x10.0 | Zginanie i ściskanie (Stateczność) | 0,050 | <input type="checkbox"/> | 1,35·0,85·(CW+St)+1,5·W1 (b) |
| 37 | ściana boczna 1 | 8 - H 200x200x 6.3 | Środnik pod obc. skup. | 0,048 | <input type="checkbox"/> | 1,35·(CW+St)+1,5·0,6·W1 (a) |
| 35 | ściana boczna 1 | 2 - H 200x200x10.0 | Zginanie i ściskanie (Stateczność) | 0,047 | <input type="checkbox"/> | 1,35·0,85·(CW+St)+1,5·W1 (b) |
| 36 | ściana boczna 1 | 2 - H 200x200x10.0 | Zginanie i ściskanie (Stateczność) | 0,047 | <input type="checkbox"/> | 1,35·0,85·(CW+St)+1,5·W1 (b) |
| 41 | ściana boczna 1 | 2 - H 200x200x10.0 | Zginanie i ściskanie (Stateczność) | 0,046 | <input type="checkbox"/> | 1,35·0,85·(CW+St)+1,5·W1 (b) |
| 44 | ściana boczna 1 | 2 - H 200x200x10.0 | Zginanie | 0,044 | <input type="checkbox"/> | 1,35·0,85·(CW+St)+1,5·W1 (b) |
| 34 | ściana boczna 1 | 2 - H 200x200x10.0 | Zginanie i ściskanie (Stateczność) | 0,043 | <input type="checkbox"/> | 1,35·0,85·(CW+St)+1,5·W1 (b) |
| 39 | ściana boczna 1 | 8 - H 200x200x 6.3 | Środnik pod obc. skup. | 0,043 | <input type="checkbox"/> | 1,35·(CW+St)+1,5·0,6·W1 (a) |
| 40 | ściana boczna 1 | 8 - H 200x200x 6.3 | Środnik pod obc. skup. | 0,043 | <input type="checkbox"/> | 1,35·(CW+St)+1,5·0,6·W1 (a) |
| 53 | ściana boczna 2 | 8 - H 200x200x 6.3 | Zginanie i ściskanie (Stateczność) | 0,042 | <input type="checkbox"/> | 1,35·0,85·(CW+St)+1,5·W1 (b) |
| 61 | ściana boczna 2 | 8 - H 200x200x 6.3 | Zginanie i ściskanie (Stateczność) | 0,039 | <input type="checkbox"/> | 1,35·0,85·(CW+St)+1,5·W1 (b) |
| 62 | belka kalenicowa | 10 - H *300x200x10 | Zginanie i ściskanie (Stateczność) | 0,039 | <input type="checkbox"/> | 1,35·0,85·(CW+St)+1,5·W1 (b) |
| 21 | ściana boczna 1 | 8 - H 200x200x 6.3 | Skręcanie | 0,038 | <input type="checkbox"/> | 1,35·0,85·(CW+St)+1,5·W1 (b) |
| 55 | ściana boczna 2 | 2 - H 200x200x10.0 | Zginanie i ściskanie (Stateczność) | 0,037 | <input type="checkbox"/> | 1,35·0,85·(CW+St)+1,5·W1 (b) |
| 28 | ściana boczna 1 | 8 - H 200x200x 6.3 | Skręcanie | 0,037 | <input type="checkbox"/> | 1,35·0,85·(CW+St)+1,5·W1 (b) |
| 29 | rama pod oświetlenie | 10 - H *300x200x10 | Zginanie | 0,035 | <input type="checkbox"/> | 1,35·0,85·(CW+St)+1,5·W1 (b) |
| 58 | ściana boczna 2 | 2 - H 200x200x10.0 | Zginanie i ściskanie (Stateczność) | 0,034 | <input type="checkbox"/> | 1,35·0,85·(CW+St)+1,5·W1 (b) |
| 50 | ściana boczna 2 | 2 - H 200x200x10.0 | Zginanie i ściskanie (Stateczność) | 0,033 | <input type="checkbox"/> | 1,35·0,85·(CW+St)+1,5·W1 (b) |
| 72 | wieża | 10 - H *300x200x10 | Zginanie | 0,033 | <input type="checkbox"/> | 1,35·0,85·(CW+St)+1,5·W1 (b) |
| 56 | ściana boczna 2 | 2 - H 200x200x10.0 | Zginanie i ściskanie (Stateczność) | 0,031 | <input type="checkbox"/> | 1,35·0,85·(CW+St)+1,5·W1 (b) |
| 42 | ściana boczna 1 | 8 - H 200x200x 6.3 | SGU | 0,031 | <input type="checkbox"/> | CW+St+W1 |
| 32 | ściana boczna 2 | 10 - H *300x200x10 | Zginanie | 0,030 | <input type="checkbox"/> | 1,35·(CW+St)+1,5·0,6·W1 (a) |
| 43 | ściana boczna 1 | 8 - H 200x200x 6.3 | Zginanie | 0,028 | <input type="checkbox"/> | 1,35·0,85·(CW+St)+1,5·W1 (b) |
| 64 | wieża | 10 - H *300x200x10 | Zginanie | 0,028 | <input type="checkbox"/> | 1,35·(CW+St)+1,5·0,6·W1 (a) |
| 5 | ściana szczytowa 1 | 10 - H *300x200x10 | Zginanie i ściskanie (Stateczność) | 0,027 | <input type="checkbox"/> | 1,35·0,85·(CW+St)+1,5·W1 (b) |
| 101 | ściana boczna 1 | 4 - H *200x300x8 | Zginanie | 0,025 | <input type="checkbox"/> | 1,35·0,85·(CW+St)+1,5·W1 (b) |
| 65 | wieża | 10 - H *300x200x10 | Zginanie | 0,023 | <input type="checkbox"/> | 1,35·(CW+St)+1,5·0,6·W1 (a) |
| 102 | ściana boczna 1 | 4 - H *200x300x8 | Zginanie | 0,022 | <input type="checkbox"/> | 1,35·0,85·(CW+St)+1,5·W1 (b) |
| 15 | ściana | 10 - H | Zginanie i ściskanie | 0,022 | <input type="checkbox"/> | 1,35·0,85·(CW+St)+1,5·W1 (b) |

| | | | | | | |
|-----|--|-----------------------|------------------------------------|-------|--------------------------|------------------------------|
| | szczytowa 2 | *300x200x10 | (Stateczność) | | | |
| 27 | rama pod oświetlenie | 10 - H *300x200x10 | Zginanie i ściskanie (Stateczność) | 0,018 | <input type="checkbox"/> | 1,35·0,85·(CW+St)+1,5·W1 (b) |
| 24 | rama pod oświetlenie | 10 - H *300x200x10 | Zginanie i ściskanie (Stateczność) | 0,017 | <input type="checkbox"/> | 1,35·0,85·(CW+St)+1,5·W1 (b) |
| 45 | ściana boczna 1 | 8 - H 200x200x 6.3 | Zginanie i ściskanie (Stateczność) | 0,016 | <input type="checkbox"/> | 1,35·0,85·(CW+St)+1,5·W1 (b) |
| 57 | ściana boczna 2 | 8 - H 200x200x 6.3 | Zginanie | 0,016 | <input type="checkbox"/> | 1,35·0,85·(CW+St)+1,5·W1 (b) |
| 12 | ściana szczytowa 2 | 10 - H *300x200x10 | Zginanie i ściskanie (Stateczność) | 0,016 | <input type="checkbox"/> | 1,35·0,85·(CW+St)+1,5·W1 (b) |
| 1 | ściana szczytowa 1 | 10 - H *300x200x10 | Zginanie i ściskanie (Stateczność) | 0,013 | <input type="checkbox"/> | 1,35·0,85·(CW+St)+1,5·W1 (b) |
| 46 | ściana boczna 1 | 8 - H 200x200x 6.3 | Zginanie | 0,012 | <input type="checkbox"/> | 1,35·0,85·(CW+St)+1,5·W1 (b) |
| 54 | ściana boczna 2 | 8 - H 200x200x 6.3 | Zginanie | 0,012 | <input type="checkbox"/> | 1,35·0,85·(CW+St)+1,5·W1 (b) |
| 113 | ściana szczytowa 2 (Kopia 1) | 8 - H 200x200x 6.3 | Rozciąganie | 0,012 | <input type="checkbox"/> | 1,35·(CW+St)+1,5·0,6·W1 (a) |
| 114 | ściana szczytowa 2 (Kopia 1) (Kopia 1) | 8 - H 200x200x 6.3 | Rozciąganie | 0,012 | <input type="checkbox"/> | 1,35·(CW+St)+1,5·0,6·W1 (a) |
| 47 | ściana boczna 1 | 8 - H 200x200x 6.3 | Skręcanie | 0,009 | <input type="checkbox"/> | 1,35·0,85·(CW+St)+1,5·W1 (b) |
| 104 | ściana boczna 2 | 4 - H *200x300x8 | Zginanie i ściskanie (Stateczność) | 0,008 | <input type="checkbox"/> | 1,35·(CW+St)+1,5·0,6·W1 (a) |
| 48 | ściana boczna 1 | 8 - H 200x200x 6.3 | Zginanie | 0,007 | <input type="checkbox"/> | 1,35·0,85·(CW+St)+1,5·W1 (b) |
| 103 | ściana boczna 2 | 4 - H *200x300x8 | Zginanie i ściskanie (Stateczność) | 0,006 | <input type="checkbox"/> | 1,35·(CW+St)+1,5·0,6·W1 (a) |
| 68 | wieża | 10 - H *300x200x10 | Zginanie i ściskanie (Stateczność) | 0,006 | <input type="checkbox"/> | 1,35·0,85·(CW+St)+1,5·W1 (b) |
| 66 | wieża | 10 - H *300x200x10 | Skręcanie | 0,005 | <input type="checkbox"/> | 1,35·0,85·(CW+St)+1,5·W1 (b) |
| 71 | wieża | 10 - H *300x200x10 | Środek pod obc. skup. | 0,005 | <input type="checkbox"/> | 1,35·0,85·(CW+St)+1,5·W1 (b) |
| 49 | ściana boczna 1 | 8 - H 200x200x 6.3 | Skręcanie | 0,004 | <input type="checkbox"/> | 1,35·0,85·(CW+St)+1,5·W1 (b) |
| 70 | wieża | 10 - H *300x200x10 | Zginanie | 0,003 | <input type="checkbox"/> | 1,35·0,85·(CW+St)+1,5·W1 (b) |
| 76 | wieża | 10 - H *300x200x10 | Skręcanie | 0,003 | <input type="checkbox"/> | 1,35·(CW+St)+1,5·0,6·W1 (a) |
| 73 | wieża | 10 - H *300x200x10 | Zginanie | 0,002 | <input type="checkbox"/> | 1,35·(CW+St)+1,5·0,6·W1 (a) |
| 74 | wieża | 10 - H *300x200x10 | Zginanie | 0,002 | <input type="checkbox"/> | 1,35·0,85·(CW+St)+1,5·W1 (b) |
| 75 | wieża | 10 - H *300x200x10 | Zginanie i ściskanie (Stateczność) | 0,002 | <input type="checkbox"/> | 1,35·0,85·(CW+St)+1,5·W1 (b) |